

## ТОПОЛОГИЧЕСКИЕ СВОЙСТВА ГЕОДЕЗИЧЕСКИХ ЗАСЕЧЕК

Методы анализа геодезических построений [2] убедительно свидетельствуют о возможностях применения теории графов в геодезических исследованиях. В данной статье сделана попытка реализовать указанную методику для анализа угловых, линейных и линейно-угловых засечек.

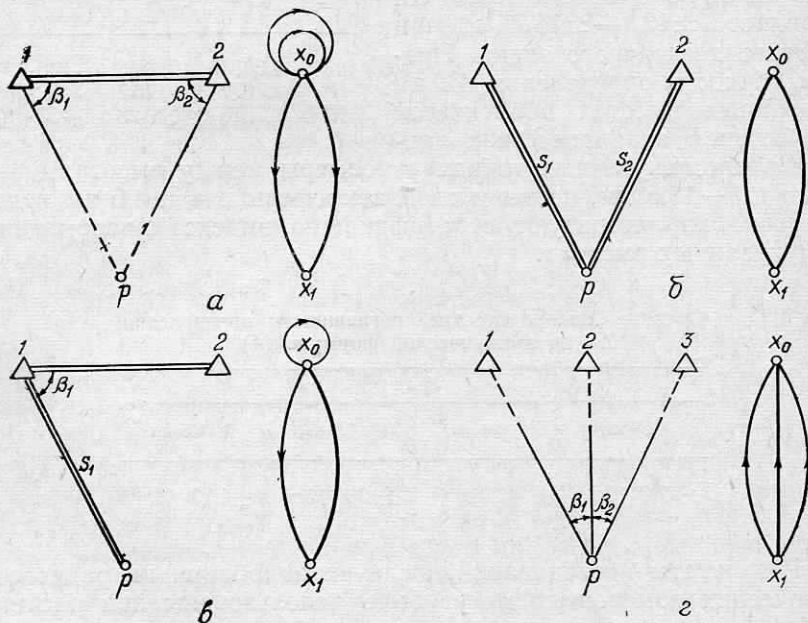


Рис. 1. Схемы геодезических засечек одного пункта и их графы.

Напомним, что графом геодезической сети  $G = (x, y)$  называют сеть, состоящую из  $(n+1)$  вершин  $x = (x_0, x_i)$ , из которых  $x_0$  объединяют все исходные пункты реальной сети, а  $x_i$  ( $i = 1, 2, \dots, n$ ) соответствуют определяемым, и  $m$  дуг  $y = (x_i, x_j)$ , отображающих геодезические измерения между  $i$  и  $j$  пунктами.

Заметим, что: а) измеренному направлению с  $i$  на  $j$  пункты отвечает дуга  $y = (x_i, x_j)$  со стрелкой, направленной на  $j$  пункты; б) измеренному дирекционному углу линии  $i-j$  — петля  $y = (x_i, x_j)$  и дуга  $y = (x_i, x_j)$ ; в) измеренному расстоянию между  $i$  и  $j$  пунктами — дуга  $y = (x_i, x_j)$  или  $y = (x_j, x_i)$ , что равносильно, поэтому будем показывать такие дуги без стрелок.

Рассмотрим некоторые свойства геодезических засечек, вытекающие из определения графа геодезической сети.

**Свойство 1.** Для определения координат  $n$  пунктов необходимо, чтобы граф геодезической сети  $G = (x, y)$  содержал

$$m \geq 4n - k \quad (1)$$

дуг, где  $k$  — количество общих направлений и измеренных длин линий.

Как известно, для решения геодезической засечки одного пункта достаточно измерить две независимые величины: два угла, два расстояния или угол и расстояние. В любом случае граф  $G = (x, y)$  будет содержать  $(4 - k)$  дуг (рис. 1,  $a - z$ ). При засечке пары пунктов граф будет иметь  $(4 \times 2 - k)$  дуг (рис. 2).

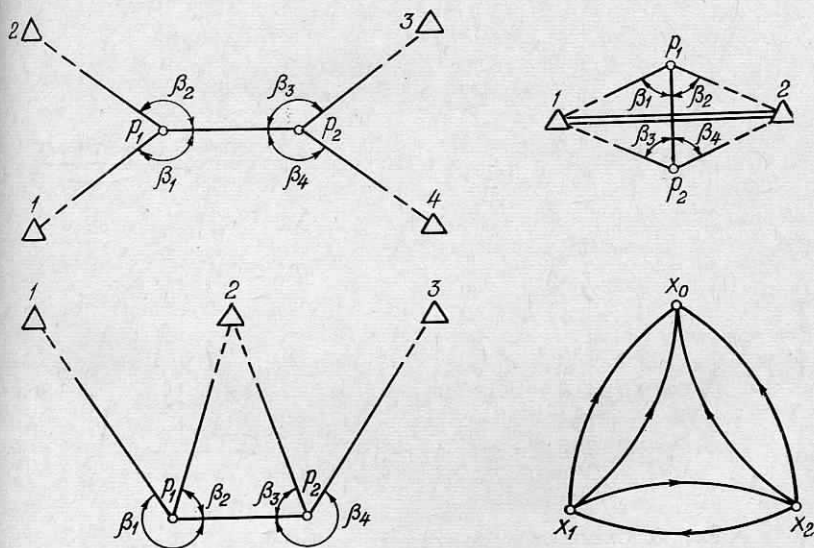


Рис. 2. Схемы обратных угловых засечек пары пунктов и их графы.

Для  $n$  определяемых пунктов достаточное число дуг составит  $(4n - k)$ .

**Свойство 2.** Количество избыточных измерений в геодезической засечке

$$N = m - (4n - k), \quad (2)$$

где  $m$  — общее число дуг графа  $G = (x, y)$ ;  $(4n - k)$  — число дуг, достаточное для решения засечки.

**Свойство 3.** Максимально возможное количество исходных пунктов, объединяемых вершиной  $x_0$  графа  $G = (x, y)$ ,

$$K = \vec{p}(x_0) + \frac{\overleftarrow{p}(x_0)}{2} + k, \quad (3)$$

где  $\vec{p}(x_0)$  и  $\overleftarrow{p}(x_0)$  — полустепени захода и исхода вершины  $x_0$  [3];  $k$  — количество измеренных расстояний между исходными и определяемыми пунктами.

Действительно, каждая из «входящих» в вершину  $x_0$  дуг  $\{\vec{p}(x_0)\}$  и дуг без стрелок  $\{k\}$  в общем случае отображают измерения на отдельный исходный пункт, а пара «выходящих» из вершин  $x_0$  дуг  $\{\overleftarrow{p}(x_0)\}$  соответствует измеренному углу на исходном пункте.

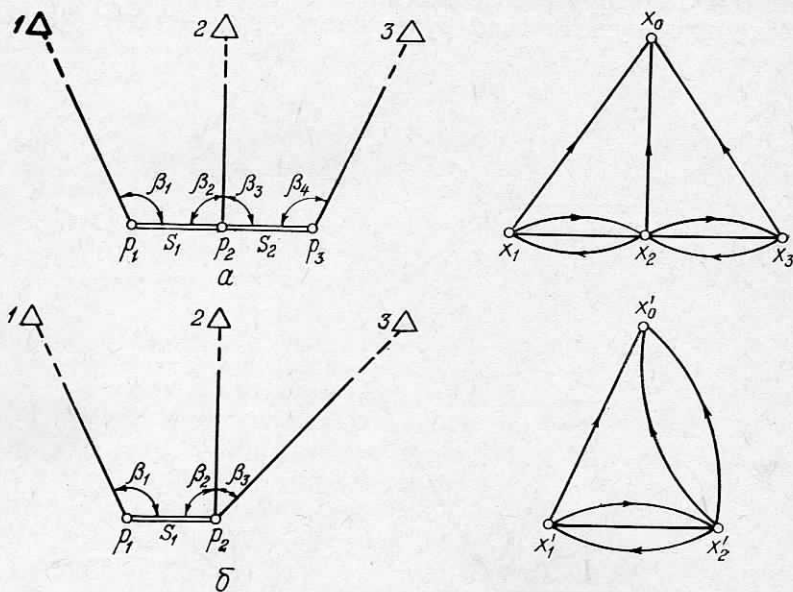


Рис. 3. Схемы линейно-угловых засечек и их графы.

**Свойство 4.** Если графом  $G=(x, y)$  описываются схемы различных геодезических засечек, то они имеют общее решение.

Предположим, что две схемы засечек описываются одним графом  $G=(x, y)$ , тогда на исходных и определяемых пунктах произведены одинаковые измерения, поэтому засечки отличаются лишь количеством исходных пунктов. Так как, совмещая исходные пункты, можно трансформировать сеть из одного вида в другой, то, принимая равными координаты совмещенных пунктов, решением общей засечки можно описать и решение другой. Причем засечку, имеющую максимально возможное количество исходных пунктов, будем называть общей.

Так, задачи определения положения пары точек методом обратной угловой засечки описываются одним графом  $G=(x, y)$  (рис. 2) и имеют общее решение [1].

**Свойство 5.** Если граф  $G'=(x', y')$  описывает схему геодезической засечки и является суграфом элементарной склейки

вершин  $x_i$  графа  $G=(x, y)$ , соответствующего другой засечке, то они имеют общее решение.

Отметим, что граф  $G'=(x', y')$  получается путем элементарной склейки [3] определяемых вершин  $x_i$  и  $x_j$  графа  $G=(x, y)$  с последующим удалением образовавшихся петель, т. е. дуг  $y=(x_i, x_j)$ . Как видно из рис. 3, граф  $G'=(x', y')$  получен в результате применения описанных действий из графа  $G=(x, y)$ .

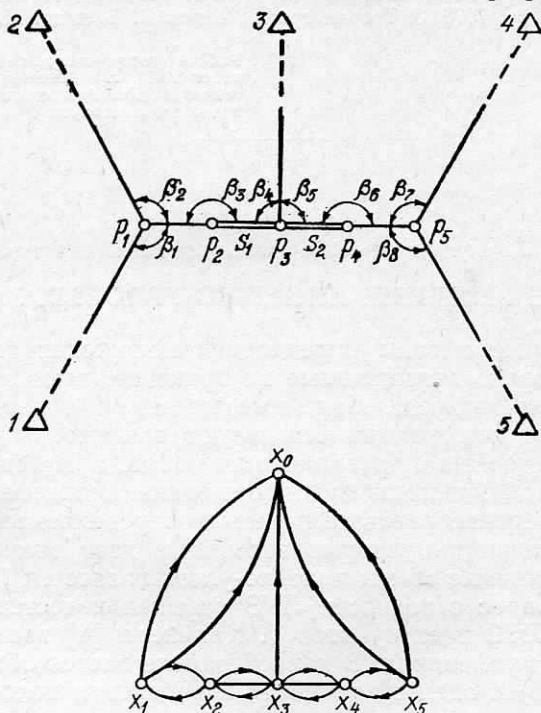


Рис. 4. Схема и граф задачи, обобщающей обратные угловые и линейно-угловые засечки.

А при  $\beta_4=180^\circ$  и  $s_2=0$  обратная линейно-угловая засечка пары пунктов (рис. 3, б) решается по формулам для общей задачи (рис. 3, а).

В результате элементарной склейки вершин  $x_1'$  и  $x_2'$  графа  $G'=(x', y')$  (рис. 3, б) и вершин  $x_1$  и  $x_2$  графа  $G=(x, y)$  (рис. 2), а также удаления образовавшихся петель, получим граф (рис. 1, г) задачи Потенота (в последнем случае с одной избыточной дугой, что не противоречит свойству 1). Задачу Потенота, которая является как бы промежуточной схемой между обратными угловыми и линейно-угловыми засечками, можно решать по обим алгоритмам.

Учитывая перечисленные свойства, можно построить граф  $G=(x, y)$  и схему задачи, обобщающей обратные угловые и линейно-угловые засечки (рис. 4).

Применение топологических свойств геодезических засечек дает возможность классифицировать засечки, построить все виды засечек, описываемых данным графом, найти общую задачу для данного класса засечек.

**Список литературы:** 1. Баран П. И., Радов С. Г. Общее решение задач определения пары точек методом взаимной обратной засечки. — Геодезия и картография, 1976, № 6. 2. Коробков С. А. Применение теории графов в геодезии. М., Недра, 1976. 3. Теория графов/Белов В. В. и др. М., Высшая школа, 1976.

Работа поступила в редколлегию 20 декабря 1977 г. Рекомендована кафедрой геодезии Коммунарского горно-металлургического института.

УДК 528.412

С. Г. РАДОВ

Коммунарский горно-металлургический институт

## ОБЩЕЕ РЕШЕНИЕ ЛИНЕЙНО-УГЛОВЫХ ЗАСЕЧЕК

Автономные методы определения положения геодезических пунктов, широко применяемые на практике, дают значительный экономический эффект. Линейные, прямые и обратные угловые засечки и их комбинации используют при производстве привязочных, съемочных и разбивочных работ, при исполнительной съемке и наблюдениях за деформациями инженерных сооружений. Измерение расстояний между определяемыми пунктами повышает точность угловых засечек и дает возможность построить различные схемы линейно-угловых засечек (ЛУЗ). В литературе вопрос о точности ЛУЗ освещен недостаточно полно, а решение ЛУЗ трех пунктов Т. Кляйнера [4] громоздко и неудобно для применения. В данной работе дается общее решение ЛУЗ (рис. 1) с оценкой точности определения положения искомым пунктам.

Рассмотрим решение ЛУЗ (рис. 1, а), в которых измерены горизонтальные углы  $\beta_1, \beta_2, \beta_3$  и  $\beta_4$  на определяемых пунктах  $p_1, p_2, p_3$  и расстояния между ними  $s_1$  и  $s_2$ . Длины  $a_i$  и дирекционные углы  $\alpha_i$  сторон между  $i$  исходными и  $p_i$  определяемыми пунктами

$$\left. \begin{aligned} a_1 &= \frac{s_1 \sin \beta_2 - b_1 \sin \delta_2}{\sin(\beta_1 + \beta_2)} \\ \alpha_1 &= \alpha_{1-2} + \delta_1 \end{aligned} \right\}; \quad (1)$$

$$\left. \begin{aligned} a_2 &= \frac{s_1 \sin \beta_1 - b_1 \sin \delta_1}{\sin(\beta_1 + \beta_2)} = \frac{s_2 \sin \beta_4 - b_2 \sin \delta_4}{\sin(\beta_3 + \beta_4)} \\ \alpha_2 &= \alpha_{2-1} - \delta_2 = \alpha_{2-3} + \delta_3 \end{aligned} \right\}; \quad (2)$$

$$\left. \begin{aligned} a_3 &= \frac{s_2 \sin \beta_3 - b_2 \sin \delta_3}{\sin(\beta_3 + \beta_4)} \\ \alpha_3 &= \alpha_{3-2} - \delta_4 \end{aligned} \right\}, \quad (3)$$